

IDENTIFICACION NEGATIVOS MICROFOTOGRAFIAS DE HOJA POLA DE GORDÓN

ROLLO n° 1

<u>N° Cliché</u>	<u>N° de la muestra</u>
1	0151 JA
3	0054 JA
5	1033 MT
7	1033 MT
9	1059 MT
11	1059 MT
13	0074 JA
15	0119 JA
17	0038 JA
19	0007 JA
21	0053 JA
23	0073 JA
25	0184 JA
27	2018 CS
29	2007 CS
31	2010 CS
33	2056 CS
35	2057 CS
37	0065 JA
39	0066 JA
41	2003 CS
43	0028 JA
45	1030 MT
47	0009 JA
49	0010 JA
51	0015 JA
53	1067 MT
55	0002 JA
57	0017 JA
59	0031 JA
61	2042 CS
63	2058 CS
65	2065 CS
67	2004 CS
69	2009 CS
71	0012 JA
73	0021 JA

IDENTIFICACION NEGATIVOS FOTOS HOJA DE POLA DE GORDON

<u>ROLLO n° 1</u>	Nº Cliché	Nº de la muestra
	5	2077 CS
	7	1085 MT
	9	1080 MT
	11	1079 MT
	13	1087 MT
	15	1082 MT
	17	1081 MT
	19	1078 MT
	21	1083 MT
	23	2071 CS
	25	2070 CS
	27	
	29	2078 CS
	31	2076 CS
	33	2075 CS
	35	2079 MT
	37	2074 CS
	39	2073 CS
	41	2072 CS
	43	1086 MT
	45	1087 MT
	47	1088 MT
	49	1089 MT
	51	1089 MT
	53	1090 MT
	55	1091 MT
	57	1091 MT
	59	1092 MT
	61	1093 MT
	63	1094 MT
	65	1095 MT
	67	1096 MT
	69	
	71	1097 MT
	73	

<u>ROLLO n° 2</u>	N° Cliché	N° de la muestra	
	2	0244	JA
	4	0245	JA
	6	0246	JA
	8	0247	JA
	10	2081	CS
	12	2082	CS
	14	1098	MT
	16	1099	MT
	18	0248	JA
	20	2079	CS
	22	2080	CS
	24	1100	MT
	26	1101	MT
	28	2083	CS
	30	2084	CS
	32	2085	CS
	34	2086	CS
	36	2087	CS
	38	0249	JA
	40 (33-34) Rollo 5°		
	42	0251	JA
	44	0252	JA
	46	0253	JA
	48	0260	JA
	50	0261	JA
	52	0259	JA
	54	0258	JA
	56	0256	JA
	58	0257	JA
	60	0254	JA
	62	0255	JA
	64	0268	JA
	66	0262	JA
	68	0260	JA
	70	0267	JA
	72	0266	JA
	74	0263	JA

ROLLO n°2

Nº Cliché	Nº de la muestra	
2	0027	JA
4	0030	JA
6	0069	JA
8	0046	JA
10	0062	JA
12	0196	JA
14	0022	JA
16	2050	CS

ROLLO n°3

Nº Cliché	Nº de la muestra	
88-1	0170	JA
2	0170	JA
4	0171	JA
6	0171	JA
8	2064	CS
10	0213	JA
12	2063	CS
14	1032	MT
16	2062	CS
18	1037	MT
20	1039	MT
22	0153	JA
24	1040	MT
26	1041	MT
28	0153	JA
30	2022	CS
32	2031	CS
34	2031	CS
36	1015	MT
38	1015	MT
40	0062	JA
42	1002	MT
44	0061	JA
46	0144	JA
48	0182	JA
50	1005	MT
52	1006	MT
54	1062	MT

ROLLO n° 3

Nº Cliché	Nº de la muestra
1	0264 JA
3	0265 JA
5	0261 JA
7 (79-80) Rollo 6°	
9	0270 JA
11	0271 JA
13	0272 JA
15	0273 JA
17	0274 JA
19	0275 JA
21	0276 JA
23	0277 JA
25	0278 JA
27	0279 JA
29	0279 JA
31	0279 JA
33	0280 JA
35	0281 JA
37	0282 JA
39	0293 JA
41	0284 JA
43	0285 JA
45	0286 JA
47	0287 JA
49	0288 JA
51	0289 JA
53	0290 JA
55	0291 JA
57	0292 JA
59	0293 JA
61	0294 JA
63	0295 JA
65	0296 JA
67	0297 JA
69	0298 JA
71	0299 JA
73	2090 CS

ROLLO n° 3

Nº Cliché	Nº de la muestra
56	0024 JA
58	0047 JA
60	1005 MT
62	0034 JA
64	0035 JA
66	0050 JA
68	0055 JA
70	0036 JA
72	0036 JA

ROLLO n° 4

Nº Cliché	Nº de la muestra
1	2047 CS
3	1019 MT
5	2040 CS
7	2040 CS
9	0199 JA
11	0190 JA
13	0189 JA
15	0182 JA
17	1057 MT
19	0004 JA
21	0179 JA
23	2021 CS
25	2021 CS
27	0041 JA
29	0042 JA
31	0079 JA
33	0080 JA
35	0080 JA
37	0084 JA
39	0087 JA
41	0044 JA
43	0044 JA
45	0049 JA
47	0049 JA
49	0056 JA
51	0056 JA
53	0063 JA

ROLLO n° 4

Nº Cliché	Nº de la muestra
1	2088 CS
3	1102 MT
5	1103 MT
7	1104 MT
9	1105 MT
11	2089 CS
13	0300 JA
15	0301 JA
17	1106 MT
19	1107 MT
21	1108 MT
23	1109 MT
25	1110 MT
27	1111 MT
29	1112 MT
31	1113 MT
33	1114 MT
35	1115 MT
37	1116 MT
39	1117 MT
41	1118 MT
43	1119 MT

HOJA DE LA POLA DE GORDON

MESOESTRUCTURAS - 20 FOTOGRAFIAS

2083-AD-CS

Fracturación esquistosa de las calizas de Láncara en la zona del Frente de Cabalgamiento de Villamanin.

1101-AD-MT

Esquistosidad de la serie pizarrosa de la formación de La Vid.

0284-AD-JA

Esquistosidad de fractura en las cuarcitas de Barrios. Vista de conjunto. Frente cabalgante de Villamanin.

0286-AD-CS

Detalle de la esquistosidad de fractura propia de las Cuarcitas de Barrios. Frente cabalgante de Villamanin.

1087-AD-MT

Esquistosidad de las series pizarrosas de la Formación de La Vid.

0285-AD-JA

Esquistosidad de fractura subperpendicular en las cuarcitas de Barrios.

0016-AD-JA

Plegamiento disarmonónico en la serie calcáreo pizarrosa de la formación La Vid.

1116-AD-MT

Detalle del plegamiento diarmónico de la serie de La Vid.

1115-AD-MT

Visión de conjunto de la complejidad del plegamiento di
sarmónico en la serie calcáreo-pizarroso de La Vid.

0260-AD-JA

Estructuras de plegamiento disarmónico en la serie de La
Vid correspondiente a la zona de Valporquero. Contraste
con las series isoclinales inferiores (Barrios-Formigoso-
San Pedro).

1105-AD-MT

Detalle de los pliegues desarrollados en la serie detritíca de San Pedro.

1085-AD-MT

Visión de conjunto de las mesoestructuras desarrolladas -
en el anticinal mecanizado de la formación de San Pedro,
próximo a la localidad de Aralla.

1107-AD-MT

Pliegues en la serie calcárea de la formación de Portilla.

0237-AD-JA

Pliegues en la serie calcárea pizarrosa de la formación de la Caliza de Montaña en los foces de Carmenes.

0242-AD-JA

Detalle de las estructuras disarmonicas desarrolladas - en la Caliza de Montaña de los foces de Carmenes.

0241-AD-JA

Otro detalle de las mismas estructuras.

0235-AD-JA

Pliegues disarmonicos desarrollados sobre la formación de la serie griotte en las inmediaciones de Canseco.

0233-AD-JA

Anticinal desarrollado en la serie calcárea pizarrosa del carbonífero, en las inmediaciones de Canseco.

1082-AD-MT

Detalles del plegamiento disarmonónico de la serie La Vid.

1080-AD-MT

Visión de conjunto del plegamiento disarmonónico de La - Vid, contraste con el isoclinalismo de las series inferiores.

1106-AD-MT

Pliegues desarrollados sobre la formación Santa Lucía.

1083-AD-MT

Detalle de pliegues de la serie La Vid.

1088-AD-MT

Vista de conjunto del plegamiento desarrollado sobre -
las formaciones de San Pedro-La Vid en las inmediacio-
nes de Geras.

1117-AD-MT

Vista de conjunto del plegamiento disarmonico propio de
la serie calcáreo-pizarrosa de la formación La Vid.

1081-AD-MT

Antiforma de la serie calcárea-pizarrosa de La Vid.

1089-AD-MT

Vista de conjunto del plegamiento de las formaciones --
San Pedro-La Vid; en las inmediaciones de Geras.

0277-AD-JA

Pliegues de la serie griotte de las inmediaciones de Ma-
tallana.

0279-AD-JA

0278-AD-JA

Aspectos del plegamiento disarmonico de la serie griotte
de las inmediaciones de Matallana.

1118-AD-JA

Pliegues de la serie detrítica de San Pedro.

0289-Ad-JA

Aspecto del plegamiento desarrollado en las formaciones
Barrios, Formigoso, San Pedro, La Vid, Santa Lucia, en
la zona del valle de Valporquero.

265-AD-JA

Otra vista de las estructuras de plegamiento visibles -
en el valle de Valporquero.

0271-AD-JA

Estructuras de plegamiento en la formación de Láncara -
ligada a frentes de cabalgamiento.

1079-AD-MT

Anticinal en la serie areniscosa de la Formación San
Pedro.

2090-AD-CS

Estructuras de plegamiento de la Formación de Láncara
en la zona del frente de cabalgamiento de Villamanin.

2088-AD-CS

Otro aspecto de las mismas deformaciones de plegamiento.

1119-AD-MT

Pliegues desarrollados en la formación detrítico pizarroso de San Pedro.

1099-

Deformaciones disarmonicas en el contacto de la zona dolomitica de la formación Láncara.



REFERENCIA = 2083-AD-CS



REFERENCIA = 1101-AD-MT



REFERENCIA = 0284-AD-JA



REFERENCIA = 2086-AD-CS



REFERENCIA = 1087-AD-MT



REFERENCIA = 0285-AD-JA

MESOESTRUCTURAS

Laboratorio de Geología
Escuela de Minas – Oviedo

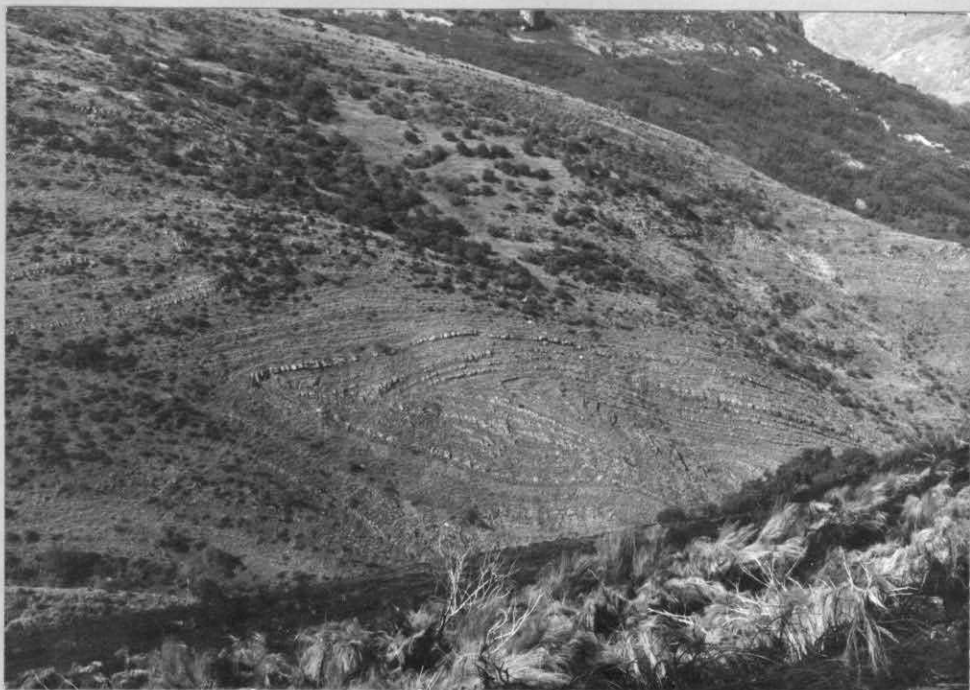
Lámina n° :



REFERENCIA: 1116-AD-JA



REFERENCIA: 0016-AD-JA



REFERENCIA = 1115-AD-MT



REFERENCIA = 0260-AD-JA

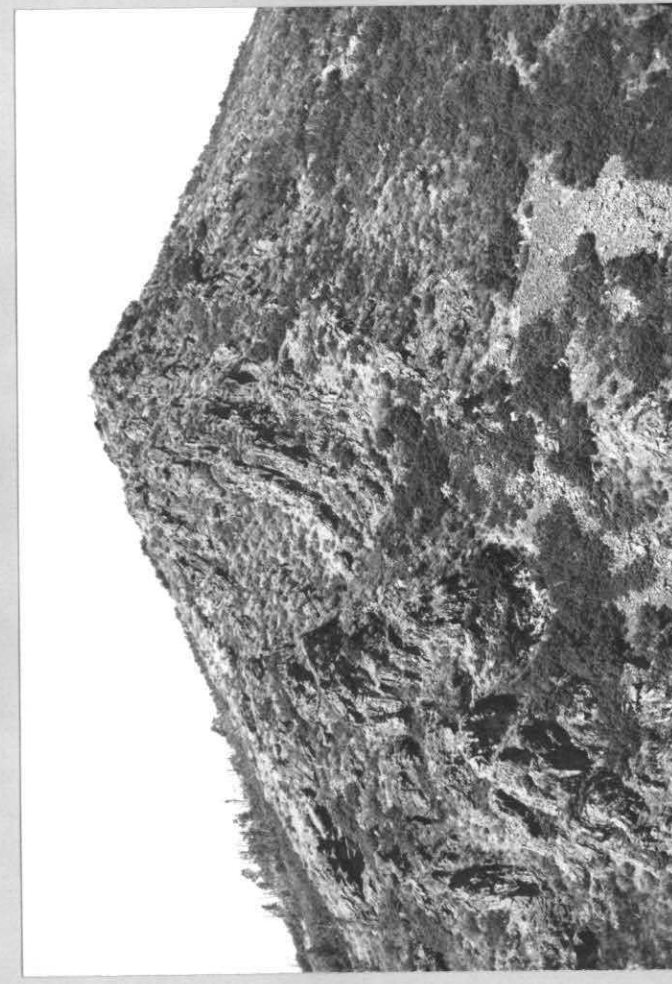
MESOESTRUCTURAS

Laboratorio de Geología
Escuela de Minas - Oviedo

Lámina nº:



REFERENCIA = 1105-AD-MT



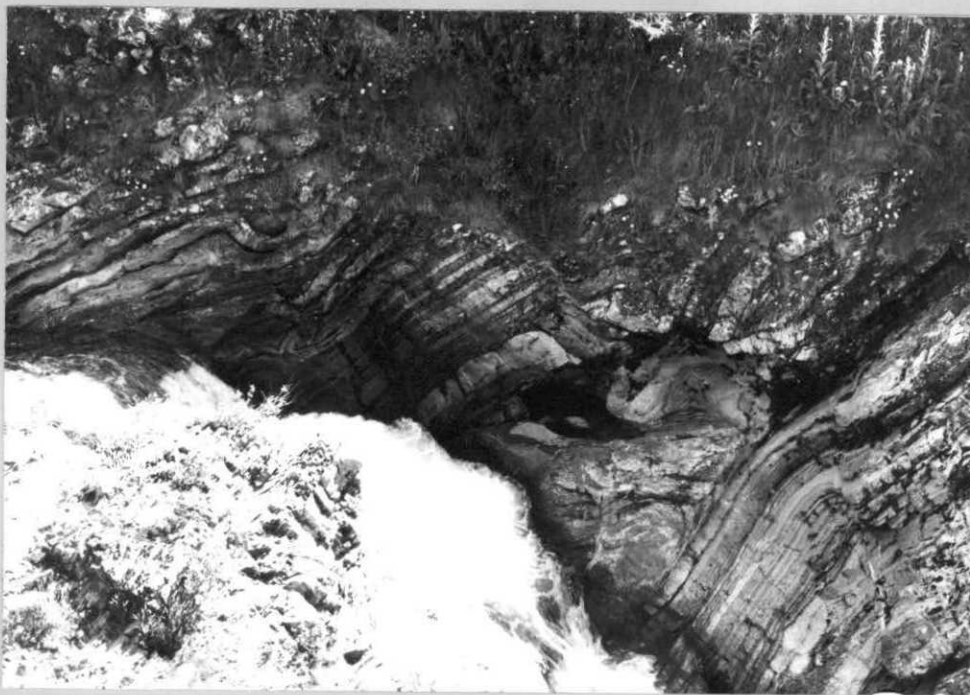
REFERENCIA = 1085-AD-MT



REFERENCIA = 1107-AD-MT



REFERENCIA = 0237-AD-JA



REFERENCIA = 0242-AD-JA



REFERENCIA = 0241-AD-JA



REFERENCIA = 0235-AD-JA



REFERENCIA = 0233-AD-JA

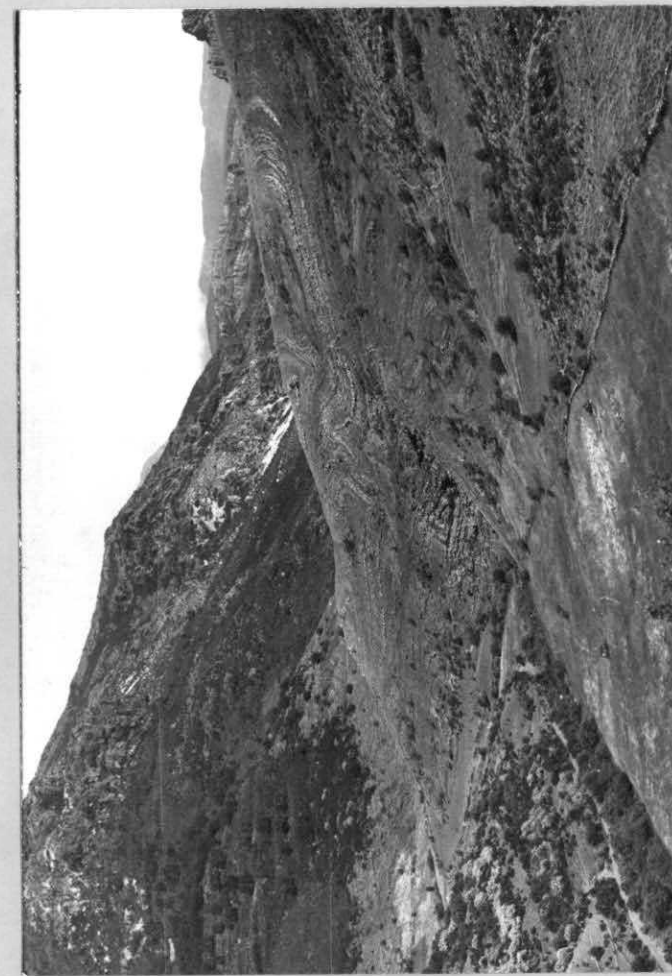
MESOESTRUCTURAS

Laboratorio de Geología
Escuela de Minas - Oviedo

Lámina nº :



REFERENCIA = 1082-AD-MT

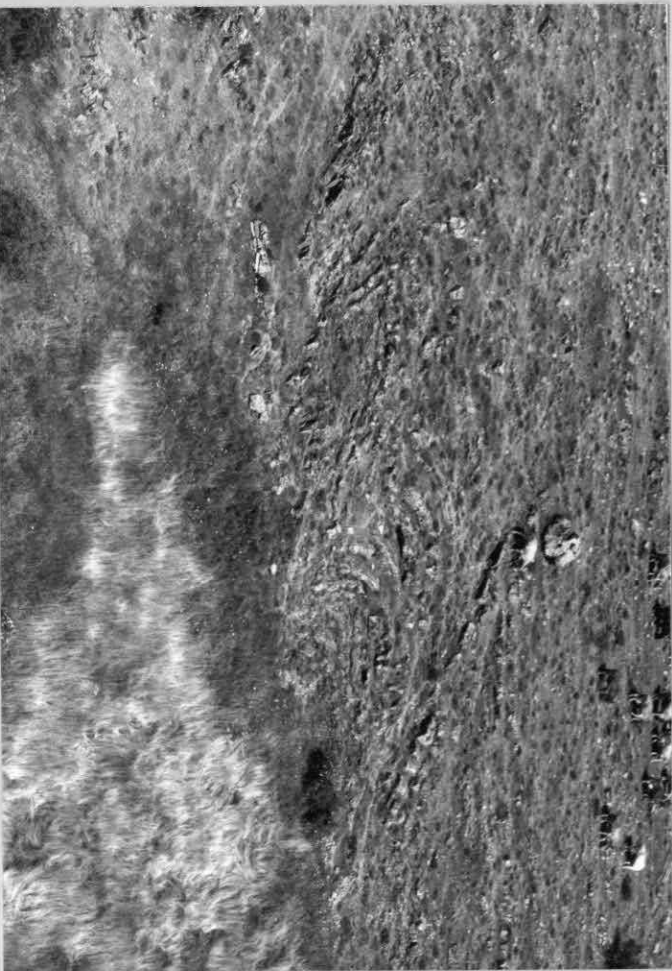


REFERENCIA = 1080-AD-MT

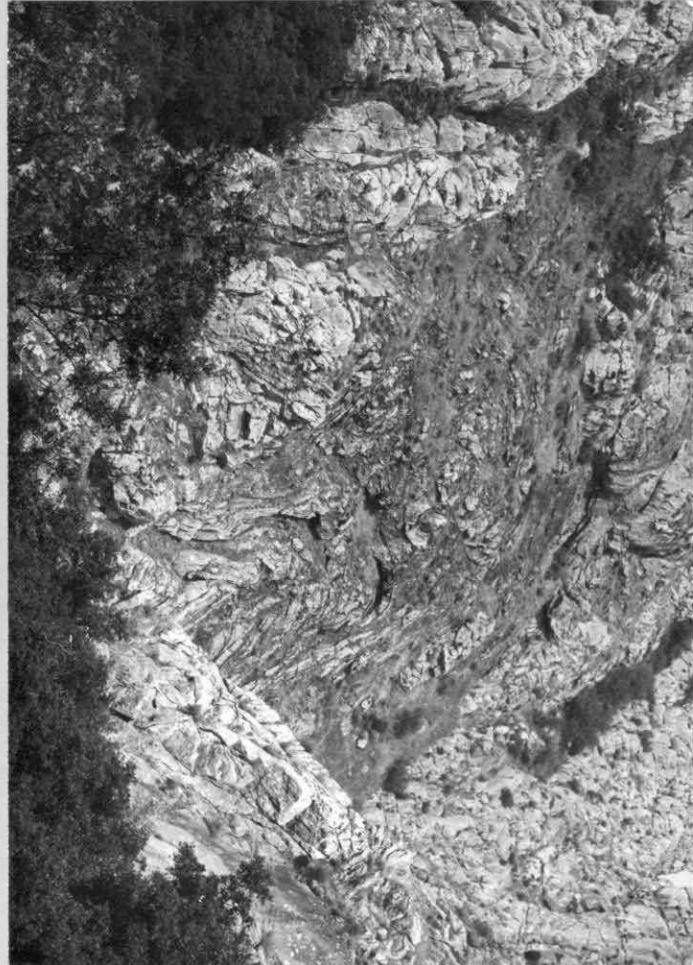
MESOESTRUCTURAS

Laboratorio de Geología
Escuela de Minas – Oviedo

Lámina nº :



REFERENCIA = 1083-AD-MT



REFERENCIA = 1106-AD-MT



REFERENCIA = 1088-AD-MT



REFERENCIA = 1117-AD-MT



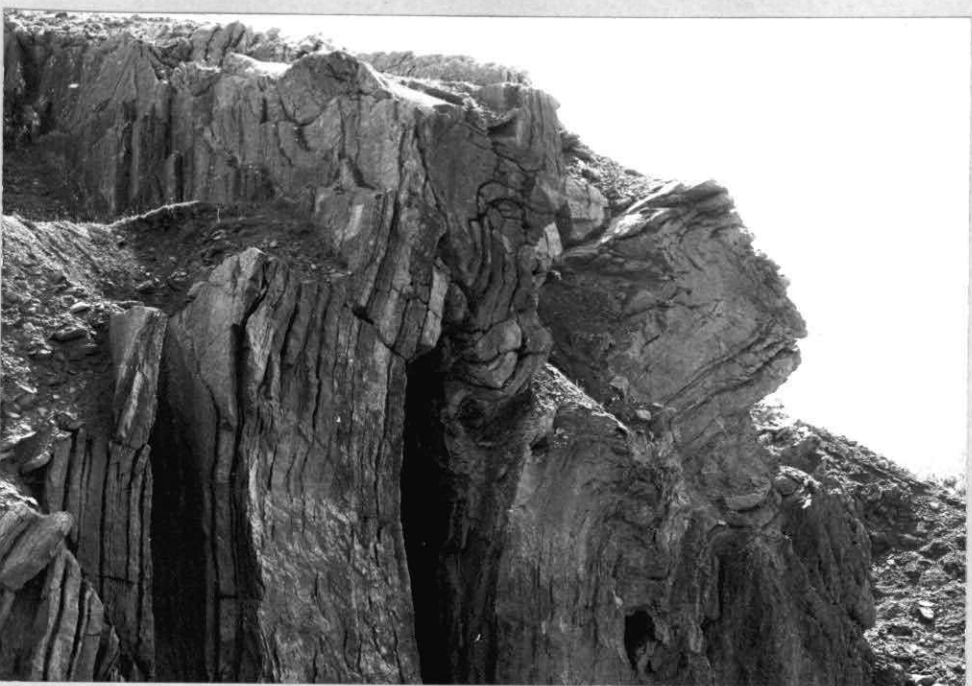
REFERENCIA = 1081-AD-MT



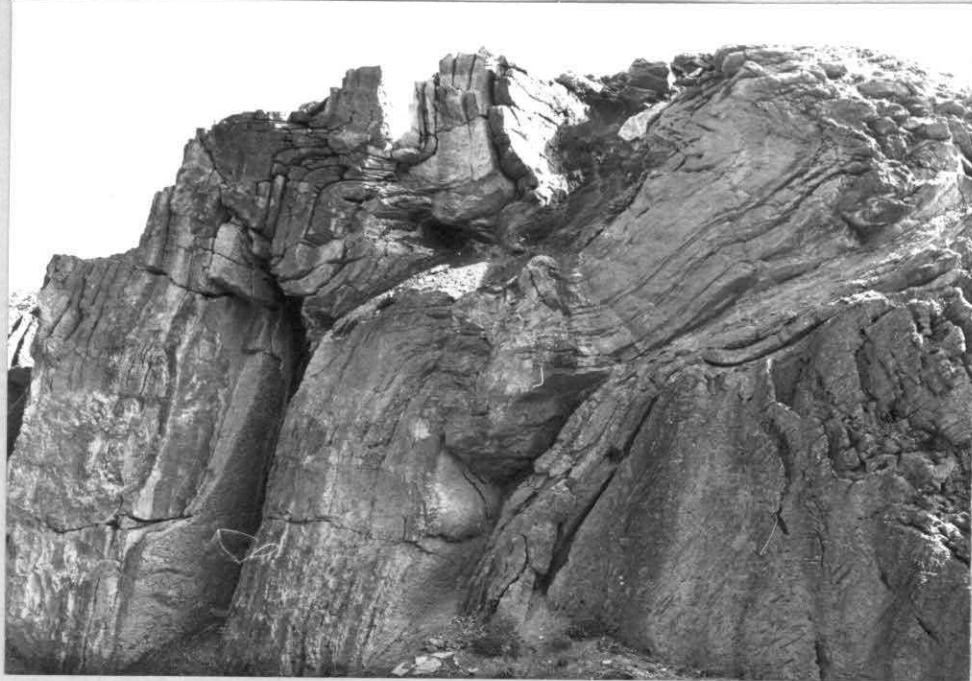
REFERENCIA = 1089-AD-MT



REFERENCIA = 0277-AD-JA



REFERENCIA = 0279-AD-JA



REFERENCIA = 0279-AD-JA

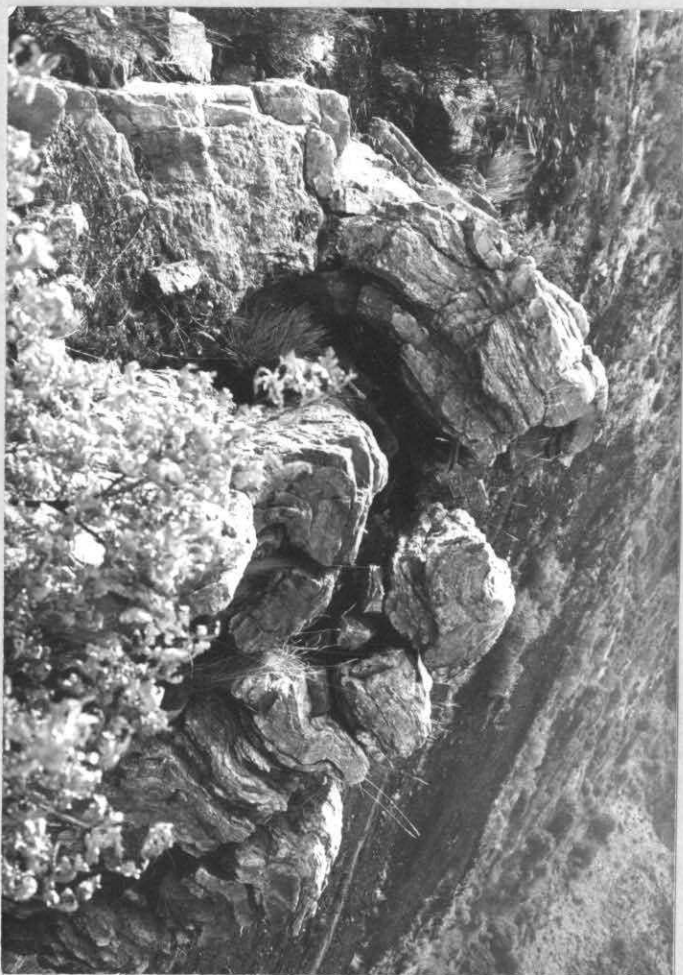


REFERENCIA = 0278-AD-JA

MESOESTRUCTURAS

Laboratorio de Geología
Escuela de Minas – Oviedo

Lámina nº :



REFERENCIA = 1118-AD-MT



REFERENCIA = 0279-AD-JA



REFERENCIA = 0289-AD-7A



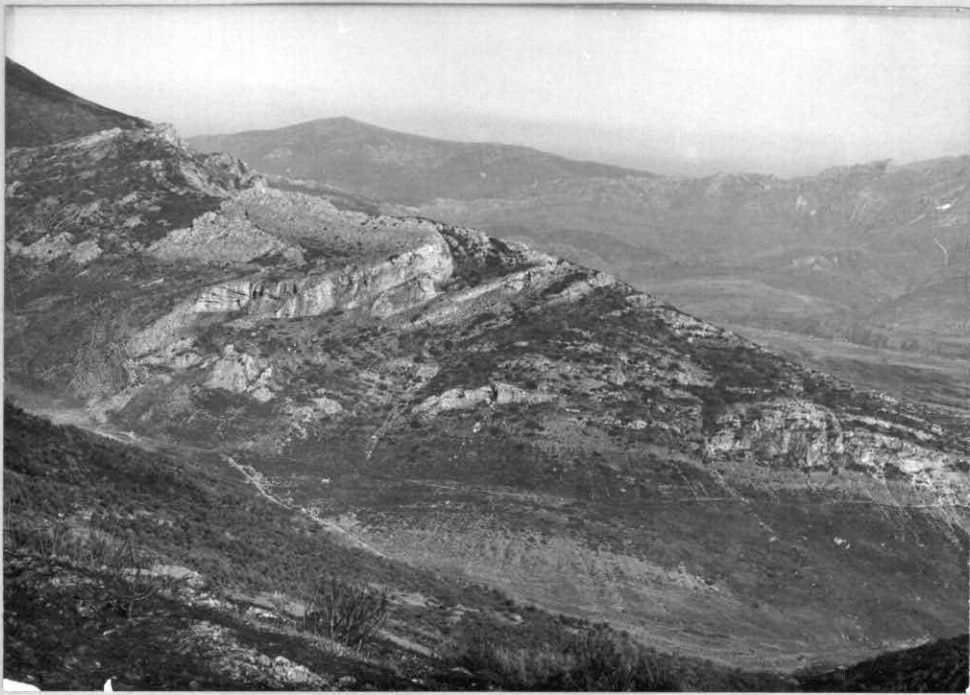
REFERENCIA = 0265-AD-7A



REFERENCIA = 0271-AD-3A



REFERENCIA = 1079-AD-MT



REFERENCIA = 2090-AD-CS



REFERENCIA = 2088-AD-CS



REFERENCIA = 1119-AD-MT



REFERENCIA = 1099-AD-MT

LITOESTRATIGRAFIA - 67 FOTOGRAFIAS

0270-AD-JA

Aspecto general de la serie detrítico-pizarrosa del --
Estefaniense de las inmediaciones de Vegacervera.

0234-AD-JA

Conglomerado basal del estefaniense de la Cuenca de --
Matallana.

0300-AD-JA

Otro aspecto del conglomerado Estefaniense.

0043-AD-JA

Aspecto de detalle del conglomerado poligénico y estruc-
turalmente complejo del Estefaniense de la Cuenca de --
Matallana.

0238-AD-JA

Serie calcáreo-pizarrosa heterogénea de la formación de
la Caliza de Montaña.

0272-AD-JA

Brecha calcáreo-calcítica que aparece en zonas tectoni-
zadas localizadas de la Caliza de Montaña.

0273-AD-JA

Aspecto general de la formación de Santa Lucía.

1140-AD-MT

Detalle de los aspectos litoestratigráficos de la formación calcárea de Santa Lucía.

240-AD-MT

Intercalación pizarrosa de la Caliza de Montaña en las **foces** de Carmenes.

257-AD-JA

Aspecto de la serie de paso de la formación Santa Lucía o Huergas.

1109-AD-MT

Visión de conjunto de los aspectos litoestratigráficos de la formación Santa Lucía.

1110-AD-MT

Contacto entre la zona pizarrosa de La Vid y la formación Santa Lucía.

0290-AD-JA

Aspecto general de la formación litoestratigráfica de Santa Lucía.

0091-AD-JA

Marcas de carga en el muro de la formación de La Vid.

0286-AD-JA

Intercalaciones pizarroso-detriticas en la serie cuarcita-areniscosa de la formación de San Pedro.

0287-AD-JA

0256-AD-JA

Aspectos de las intercalaciones pizarrosas de la formación de San Pedro.

2084-AD-CS

Aspecto de las calizas grisaceas de la formación de Láncara.

0298-AD-JA

Contacto de la formación de Barrios con las series superiores.

0281-AD-JA

Aspecto de la formación de la caliza de Montaña en la zona de las "foces" de Vegacervera.

0282-AD-JA

Calizas de La Vid y cuarcitas de Barrios en el valle de Vegacervera.

0275-AD-JA

Cuarcita de Barrios en la zona de Valporquero.

1092-AD-MT

Aspecto de la formación de Santa Lucía y conjunto pizarroso de Huergas.

0295-AD-MT

Visión general de la serie calcárea de la formación de Santa Lucía.

0294-AD-JA

Aspecto de las calizas de Santa Lucía (izquierda) pizarras de Huergas y serie calcárea de Portilla.

0296-AD-JA - 0252-AD-JA

Detalle estratigráfico de la formación calcárea de Santa Lucía en su contacto inferior con la formación pizarrosa de La Vid.

0297-AD-JA

Serie de paso de la formación de Santa Lucía hacia la -- serie pizarrosa inferior de La Vid.

0254-AD-JA

Aspecto general de la zona de paso de San Pedro a La Vid.

0258-AD-JA

Aspecto general de La Vid (calcáreo y pizarroso) y zona de paso a Santa Lucía.

0259-AD-JA

Aspecto general de las series de las formaciones Barrios, Formigoso, San Pedro y La Vid en sus dos secuencias líticas.

1112-AD-MT

Aspecto general de la formación de la Caliza de Montaña ; destacan las zonas dolomitizadas e intercalaciones calcáreas superiores.

1114-AD-MT

Al fondo la Caliza de Montaña. En primer término las formaciones de San Pedro y La Vid.

1096-AD-MT

En primer término; detalles de la formación de La Vid.

1097-AD-MT

Al fondo intercalación calcárea del carbonífero de Villamanin.

1090-AD-MT; 1086-AD-MT

Aspecto de la zona ocupada por la formación La Vid en las proximidades de Geras.

1087-AD-MT

Aspecto general de las formaciones calcáreas de Santa Lucia.

1091-AD-MT

Alineaciones calcáreas de las formaciones Santa Lucia y Portilla.

1010-AD-MT

Contacto entre la serie calcárea y pizarrosa de La Vid.

1103-AD-MT

Serie arenisca cuarcítica de Barrios.

0095-AD-JA

Aspecto general de la formación calcáreo-dolomítica de Láncara en zona tectonizada.

2071-AD-CS

Pizarras del carbonífero; con pequeñas intercalaciones de areniscas.

2073-AD-CS ; 2072-AD-CS

Pizarras del carbonífero y formación de Láncara en -- contacto mecánico.

2089-AD-CS

Pizarras del carbonífero; zona calcárea dolomítica de Láncara y cuarcitas de Barrios.

1100-AD-MT

Serie dolomítica de Láncara.

2070-AD-CS

Contacto de Láncara con la formación Oville.

2079-AD-CS

Intercalación calcárea de la serie pizarrosa del Nestfaliense de Villamanin.

1078-AD-MT

Afloramientos de la serie calcáreo-dolomítica de Láncara.

2074-AD-CS y 2087-AD-CS

Caliza de Montaña e intercalaciones calcáreas del Westfaliense de Villamanin.

1102-AD-MT

En primer término la formación Láncara. Al fondo la Caliza de Montaña y serie calcáreo-pizarrosa del Westfaliense.

0236-AD-JA

Caliza de Montaña dolomitizado e intercalaciones calcáreas superiores.

0250-AD-JA

Contacto de la formación de Barrios con Formigoso.

1111-AD-MT

Serie calcárea de Santa Lucía; aspecto litoestratigráfico general.

0260-AD-JA

Contacto de las formaciones La Vid y Santa Lucía

0060-AD-JA

Aspecto general de la serie detrítico-pizarrosa del Estefaniense.

0269-AD-JA y 0280-AD-JA

Contacto del Estefaniense con la Caliza de Montaña de las faces de Vegacervera.

0245-AD-JA

Intercalaciones de la formación calcárea y dolomítica de Láncara.

1095-AD-MT

Aspecto general de la serie Barrios, Formigoso, San Pedro y La Vid calcárea.



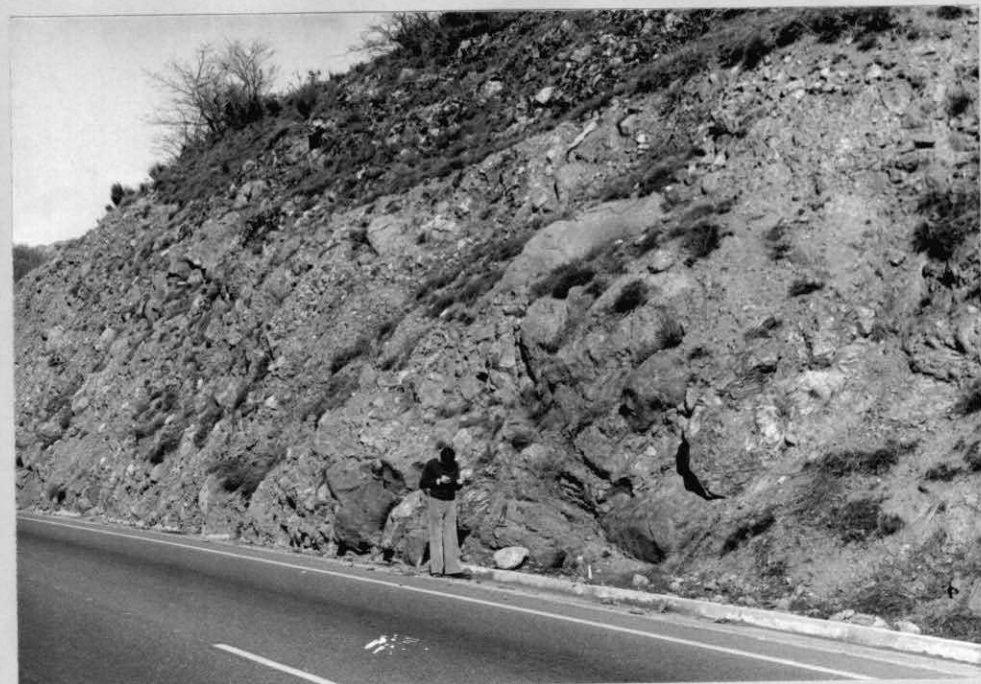
REFERENCIA = 0270-AD-JA



REFERENCIA = 0234-AD-JA



REFERENCIA = 0300 - AD - JA



REFERENCIA = 0043 - AD - JA



REFERENCIA = 0238-AD-JA



REFERENCIA = 0272-AD-JA



REFERENCIA = 0273-AD-JA



REFERENCIA = 1094-AD-MT



REFERENCIA = 1104-AD-MT



REFERENCIA = 0240-AD-JA



REFERENCIA = 0257 - AD - JA



REFERENCIA = 1109 - AD - MT



REFERENCIA = 1110-AD-MT



REFERENCIA = 0290-AD-JA



REFERENCIA = 0091 - AD - JA



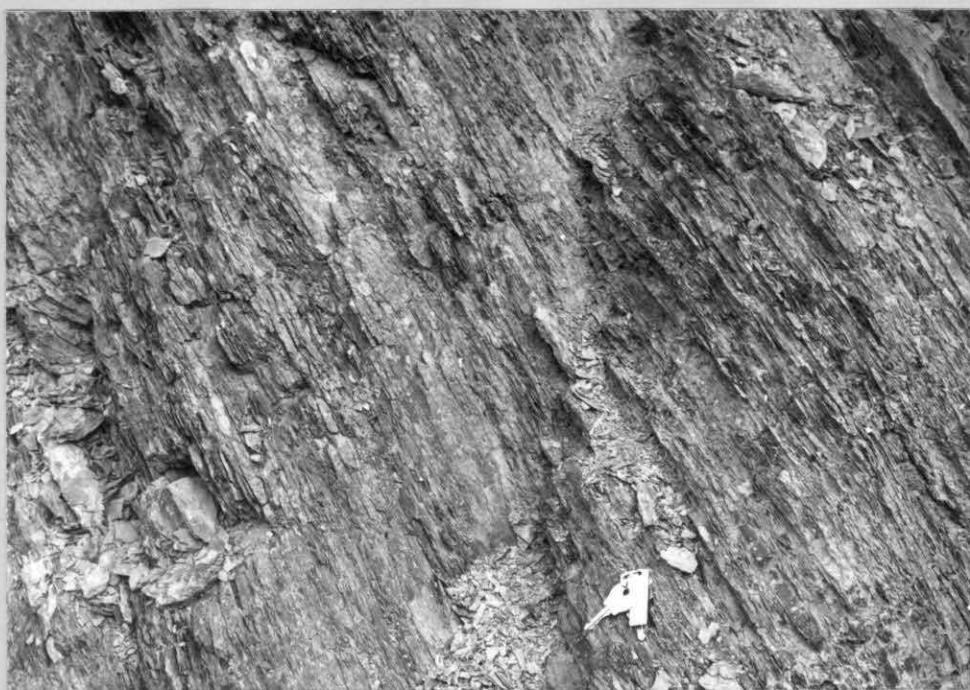
REFERENCIA = 0286 - AD - JA



REFERENCIA = 0287-AD-JA



REFERENCIA = 0256-AD-JA



REFERENCIA = 0255-AD-JA



REFERENCIA = 2085-AD-CS



REFERENCIA = 2084 - AD - CS

REFERENCIA = _____



REFERENCIA = 0298-AD-JA



REFERENCIA = 0281-AD-JA



REFERENCIA = 0282 - AD - JA



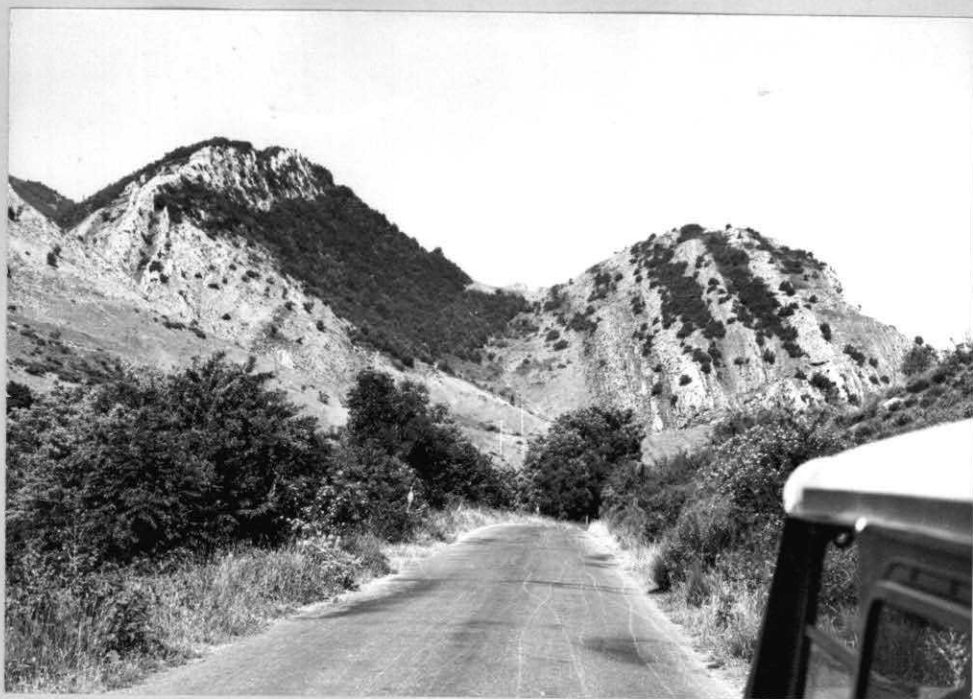
REFERENCIA = 0275 - AD - JA



REFERENCIA = 0274-AD-JA



REFERENCIA = 0262-AD-JA



REFERENCIA = 1092 - AD - MT



REFERENCIA = 0295 - AD - MA



REFERENCIA = 0294-AD-JA



REFERENCIA = 0296-AD-JA



REFERENCIA = 0252-AD-JA



REFERENCIA = 0297-AD-JA



REFERENCIA = 0254-AD-JA



REFERENCIA = 0258-AD-JA



REFERENCIA = 0259 - AD - JA



REFERENCIA = 1112 - AD - MT



REFERENCIA = 1114 - AD - MT



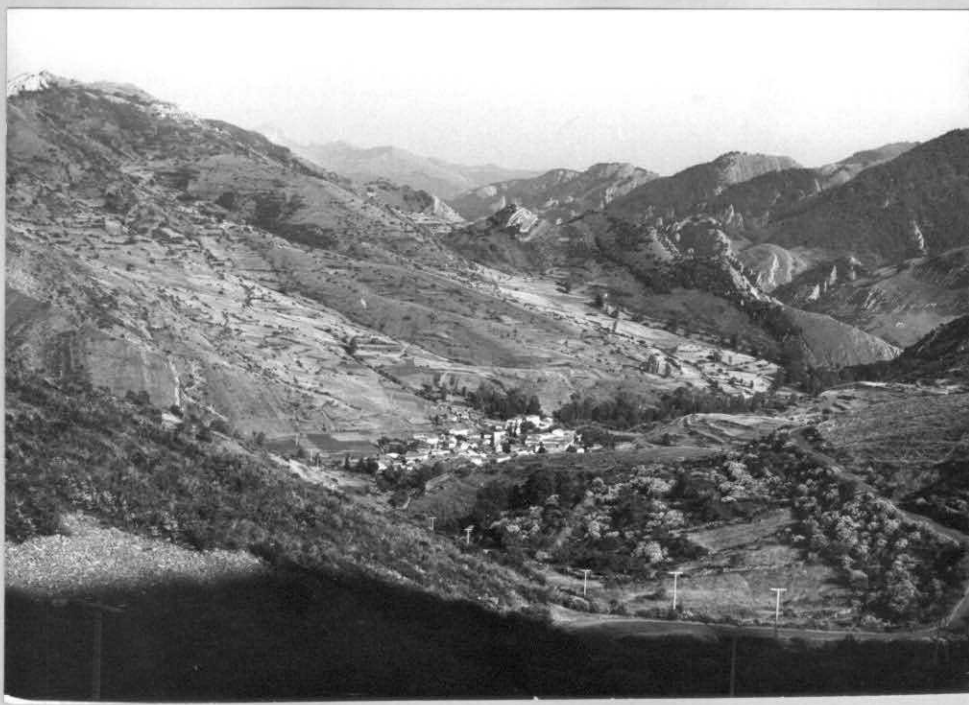
REFERENCIA = 1096 - AD - MT



REFERENCIA = 1097 - AD - MT



REFERENCIA = 1090 - AD - MT



REFERENCIA = 1086 - AD - MT



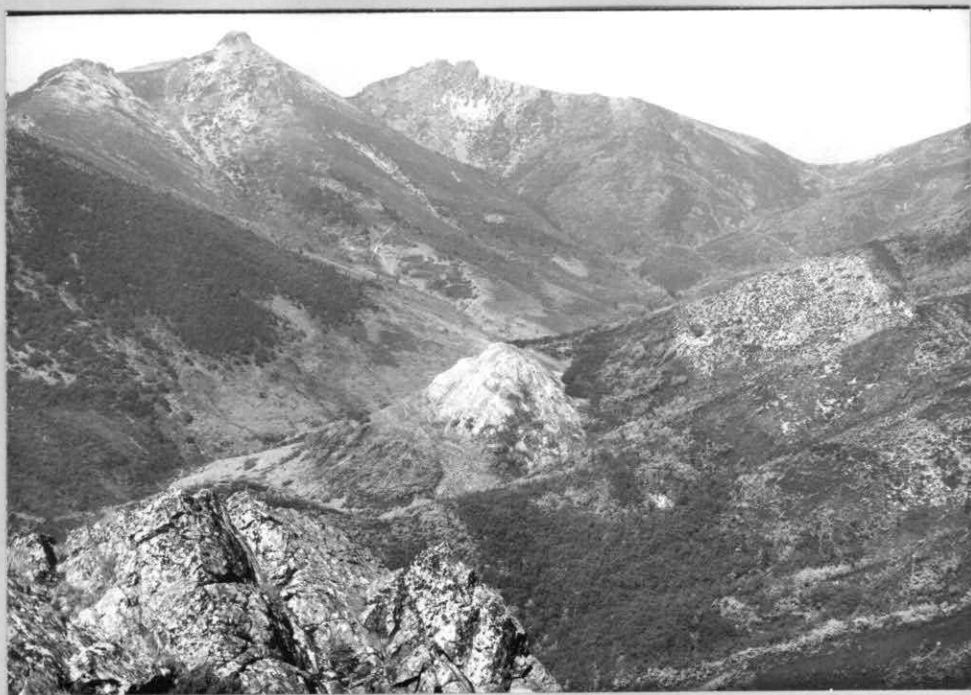
REFERENCIA = 1087 - AD - MT



REFERENCIA = 1091 - AD - MT



REFERENCIA = 1010 - AD - MT



REFERENCIA = 1103 - AD - MT



REFERENCIA = 0095 - AD - JA



REFERENCIA = 2071-AD-CS



REFERENCIA = 2073-AD-CS



REFERENCIA = 2072-AD-CS

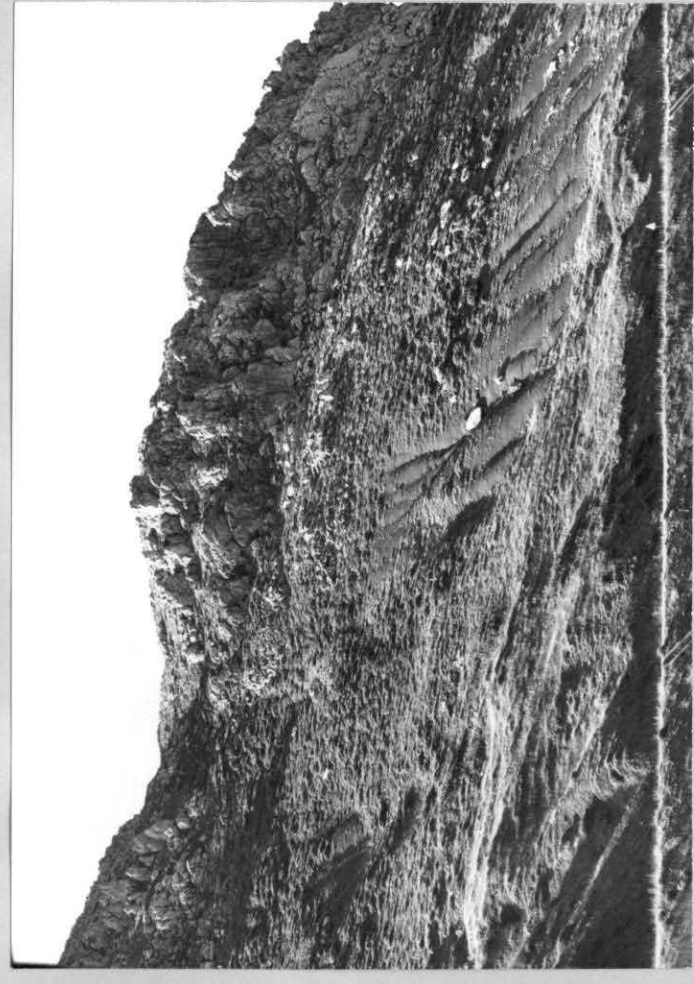


REFERENCIA = 2089-AD-CS

LITOESTRATIGRAFIA

Laboratorio de Geología
Escuela de Minas - Oviedo

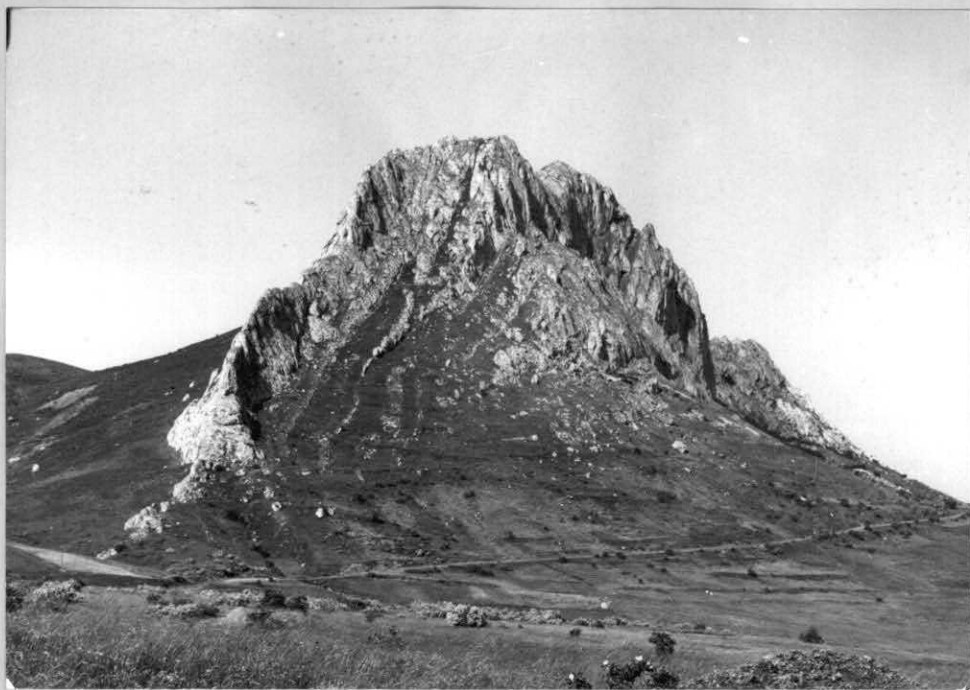
Lámina nº:



REFERENCIA = 1100-AD-MT



REFERENCIA = 2070-AD-CS



REFERENCIA = 2079-AD-CS



REFERENCIA = 1078-AD-MT



REFERENCIA = 2074 - AD - CS



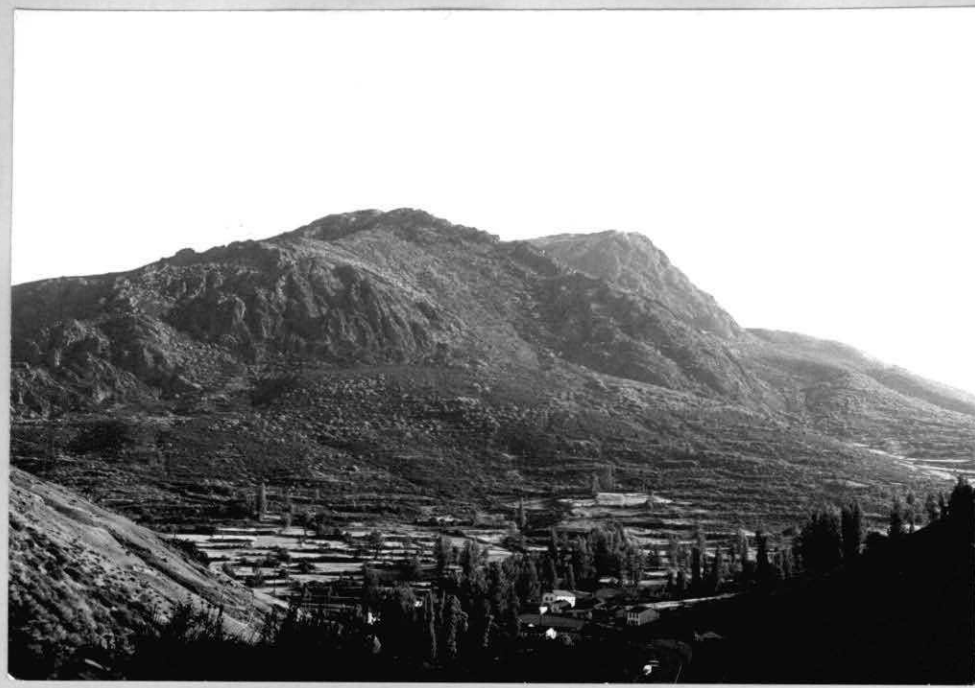
REFERENCIA = 2087 - AD - CS



REFERENCIA = 1102 - AD - MT



REFERENCIA = 0236 - AD - JA



REFERENCIA = 0250-AD-JA



REFERENCIA = 111-AD-MT



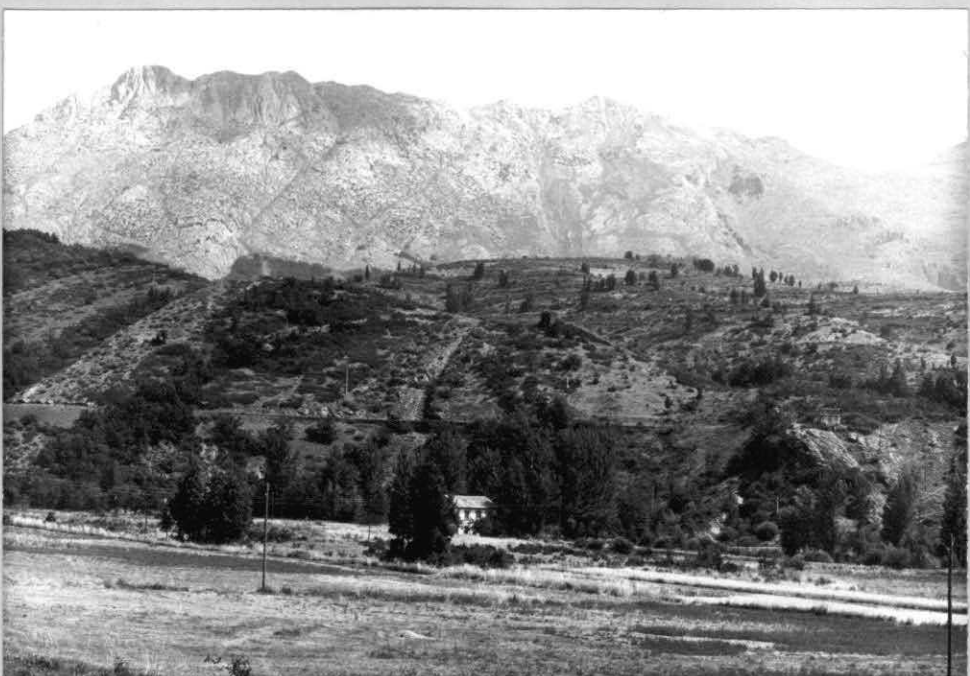
REFERENCIA = 0260-AD-JA



REFERENCIA = 0060-AD-JA



REFERENCIA = 0269-AD-JA



REFERENCIA = 0280-AD-JA



REFERENCIA = 0245-AD-JA



REFERENCIA = 1095-AD-MT

G E O M O R F O L O G I A - 26 FOTOGRAFIAS

0268-AD-JA

Formas de erosión fluvio-torrencial en la Caliza de Montaña de las focias de Vegacervera.

0276-AD-JA

Surgencia de la Caliza de Montaña en el Karst. de Vegacervera.

0263-AD-JA y 0261-AD-JA

Dolinas y Uvalas del ámbito carstico de Valporquero.

0264-AD-JA

Depositos terrosos-carsticos del dominio carstico de Valporquero.

1108-AD-MT

Diclasación y surgencia colgada del Karst de los focias de Vegacervera.

2076-AD-CS

Valle glaciar y depósitos glacio-fluviales de la zona de Pajares.

2075-AD-CS

Valle glaciar degradado de la zona de Pajares.

2077-AD-CS

Valle glaciar degradado de la zona de Pajares-Cueto Negro.

0244-AD-JA

Nichos de nivación actual en la zona de Pajares.

0248-AD-JA

Relieve estructural de la formación de Láncara y nicho de nivación.

2082-AD-CS

Valle fluvio-estructural de Villamanin.

2078-AD-CS

Relieves litoestructurales de la zona de Pajares.

0246-AD-JA

Relieve en foz de la Caliza de Montaña en las inmediaciones de Canseco.

0299-AD-JA

Foces de Canseco. Aspecto general.

1113-AD-MT

Relieve estructural en la zona de Aralla.

0261-AD-JA y 0288-AD-JA

Aspecto de las foces de Canseco.

0243-AD-JA

Aspecto general de los foces de Canseco.

0239-AD-JA

Detalle de los foces de Carmenes.

0266-AD-JA y 0267-AD-JA

Aspectos de los foces de Vegacervera.

2081-AD-CS

Erosión torrencial en las pizarras carboníferas del valle de Villamanín.

2080-AD-CS

Relieves estructurales de la formación Láncara en el frente de cabalgamiento de Villamanín.

0249-AD-JA

Criocanchales cuarcíticos de la zona de Villamanín.

0251-AD-JA

Aspecto general de los criocanchales cuarcíticos.

1093-AD-MT

Relieves estructurales en las intercalaciones calcáreas del Westfaliense. Erosión en las pizarras del mismo nivel.

0293-AD-JA

Criocanchales calcáreos cementados.



REFERENCIA= 0268-AD-JA



REFERENCIA= 0276-AD-JA

GEOMORFOLOGIA

Laboratorio de Geología
Escuela de Minas—Oviedo

Lámina n°: 2.



REFERENCIA= 0261 - AD - JA



REFERENCIA= 0263 - AD - JA



REFERENCIA= 0264-AD-JA



REFERENCIA= 1108-AD-MT



REFERENCIA = 2076-AD-CS



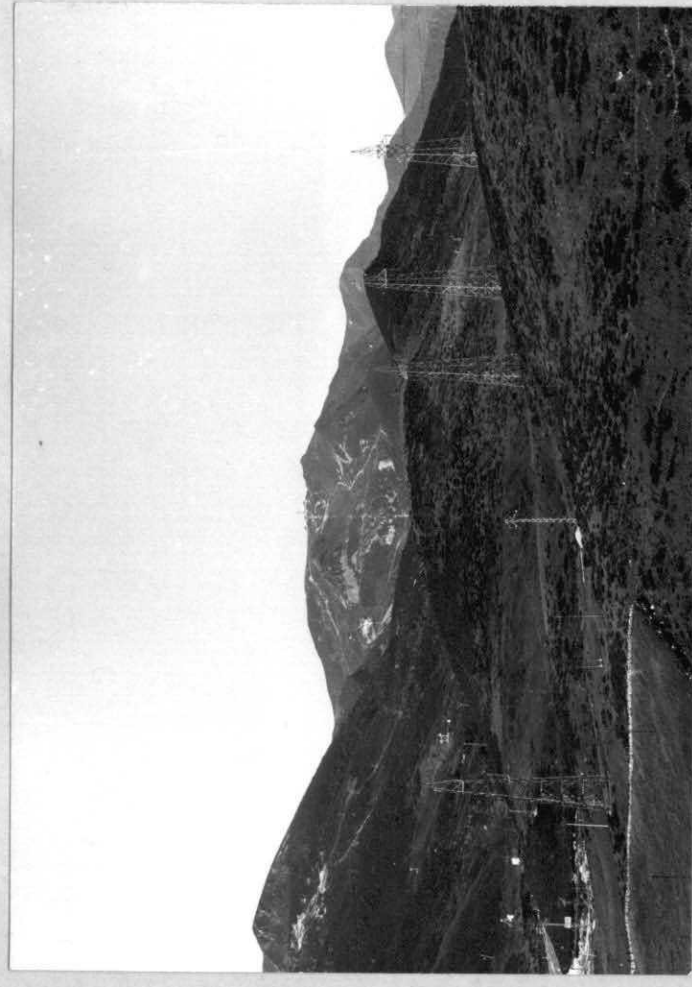
REFERENCIA = 2075-AD-CS

GEOMORFOLOGIA

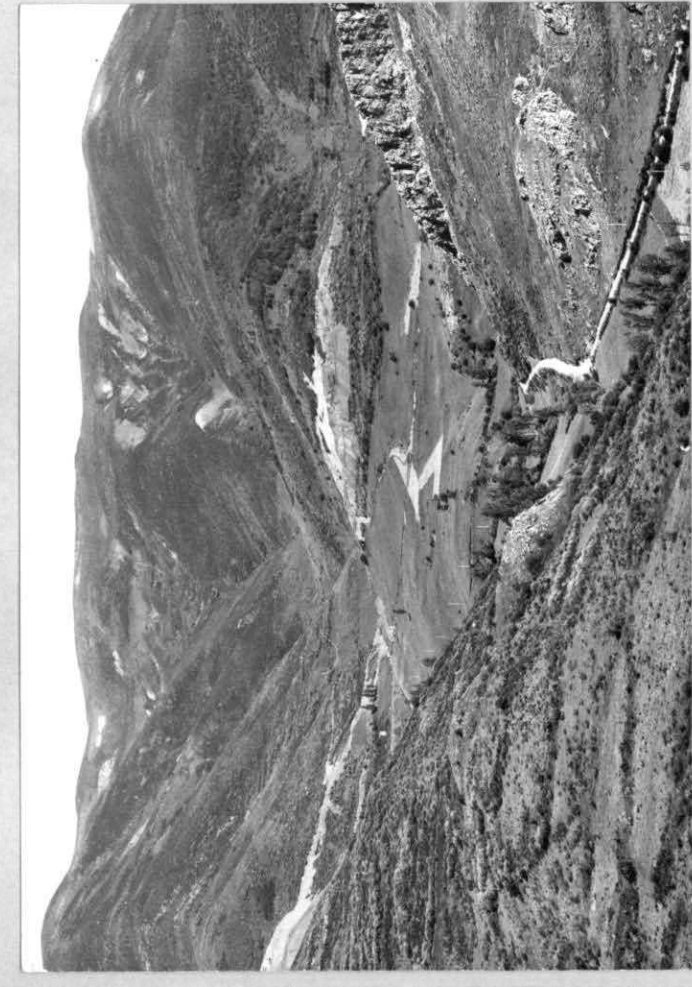
Laboratorio de Geología
Escuela de Minas- Oviedo

5

Lámina n°:



REFERENCIA= 2077-AD-CS



REFERENCIA= 0244-AD-JA



REFERENCIA = 0248-AD-JA



REFERENCIA = 2082-AD-CS



REFERENCIA = 2078-AD-CS



REFERENCIA = 0246-AD-JA



REFERENCIA = 0299-AD-JA



REFERENCIA = 1113-AD-MT



REFERENCIA = 0261-AD-JA



REFERENCIA = 0288-AD-JA



REFERENCIA = 0243-AD-JA



REFERENCIA = 0239-AD-JA

REFERENCIA = _____

REFERENCIA = _____



REFERENCIA = 0266-AD-JA



REFERENCIA = 0267-AD-JA



REFERENCIA = 2081-AD-CS



REFERENCIA = 2080-AD-CS

REFERENCIA = _____

REFERENCIA = _____

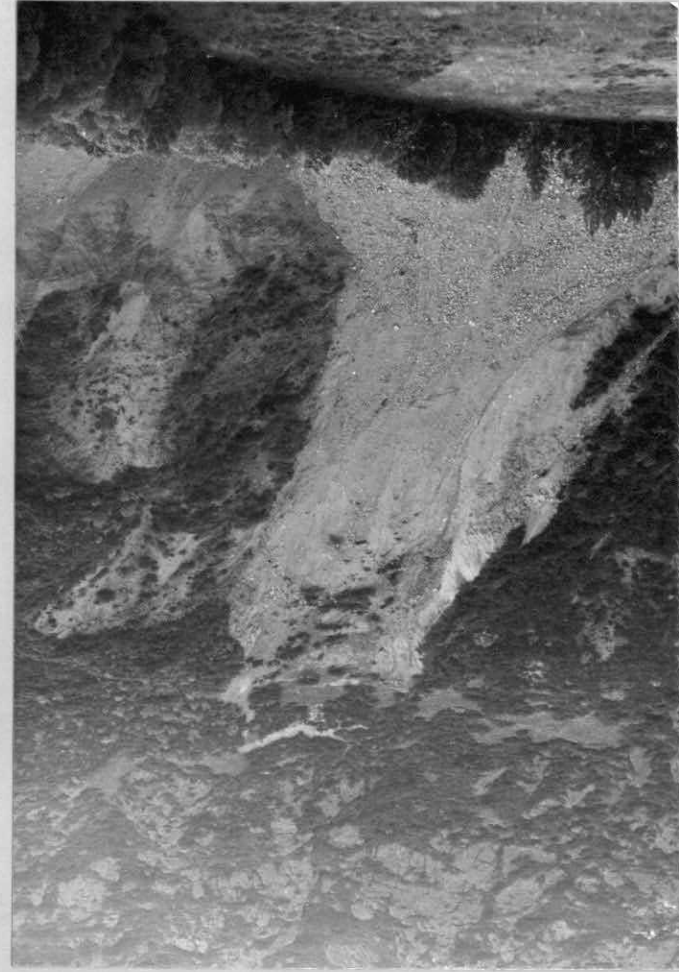
GEOMORFOLOGIA

Laboratorio de Geología
Escuela de Minas - Oviedo

Lámina nº:



REFERENCIA = 0249-AD-JA



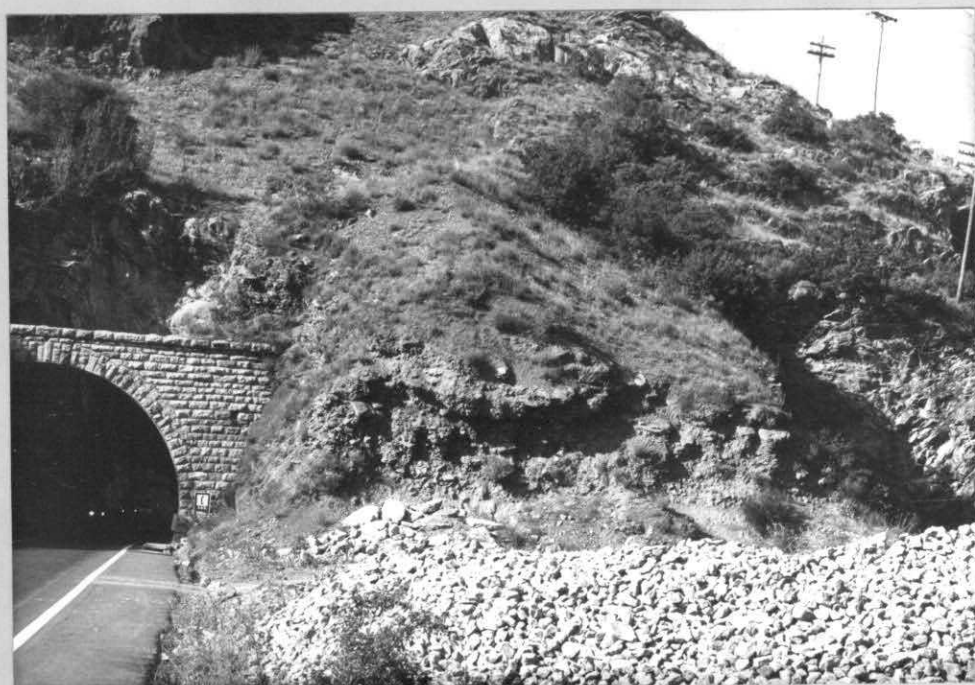
REFERENCIA = 0251-AD-JA

REFERENCIA = _____

REFERENCIA = _____



REFERENCIA = 1093 - AD - MT



REFERENCIA = 0293 - AD - JA